

بررسی اهمیت پارامترهای مؤثر در گسیختگی ستون کوتاه با استفاده از روش‌های همبستگی و یادگیری ماشین

زهرا نوری (کارشناس ارشد)

فریدر ناطقی‌الهی^{*} (استاد)

پژوهشکده سازه، پژوهشگاه بین‌المللی مهندسی زلزله و زلزله‌شناسی

در نوشتار حاضر، با استفاده از الگوریتم مونت‌کارلو و با درنظر گرفتن توزع نرمال برای ۱۰ پارامتر مؤثر در تشکیل ستون کوتاه، یک پایگاه داده متشکل از ۲۰۰ / ۰۰ نمونه ایجاد شده است. برای مدل سازی قاب خمشی بتی با درنظر گرفتن رفتار خمشی و برشی ستون، از نرم افزار OpenSees استفاده شده و راستی آزمایی مدل از طریق مقایسه با مطالعات آزمایشگاهی صورت گرفته است. سپس با استفاده از تحلیل پوش آور بر روی مدل‌ها، نوع مکانیزم شکست ستون، اعم از خمشی و یا برشی تعیین شده است. با استفاده از روش‌های یادگیری ماشین: تحلیل مؤلفه‌ی اساسی، درخت تصمیم و آزمون F- و همچنین روش‌های تحلیل همبستگی پیرسون و اسپیرمن، میزان اهمیت هر یک از پارامترها بررسی شده است. روش‌های یادگیری ماشین درخت تصمیم و آزمون F- و همچنین هر دو روش همبستگی به خوبی قادر به شناسایی میزان اهمیت هر کدام از پارامترها در تشکیل ستون کوتاه هستند. پارامترهای درصد آرماتور برشی ستون و نسبت ارتفاع دیوار به ارتفاع ستون به عنوان مهم‌ترین و مؤثرترین پارامترها تعیین شده‌اند.

وازگان کلیدی: ستون کوتاه، تحلیل پوش آور، مونت‌کارلو، یادگیری ماشین، تحلیل همبستگی.

Z_nouri1995@yahoo.com
Nateghi@iiees.ac.ir

۱. مقدمه

برشی به صورت مجموع مقاومت برشی بتن و تسليح برشی است. تأثیر پارامترهای مختلف، از قبیل: بارمحوری، شکل پذیری و پارامترهای نسبی در بعضی از مدل‌های مذکور نشان داده شده‌اند. لی^۱ و همکاران (۲۰۱۴)، با مطالعه‌ی آزمایشگاهی رفتار لرزه‌ی ستون با نسبت ارتفاع به عمق کمتر از ۲، بین ۲ و ۴ و بزرگ‌تر از ۴ و با تغییر در درصد آرماتورهای عرضی و بار محوری، برای رفتار برشی ستون‌ها، منحنی‌های نیرو - جابه‌جایی ارائه کرده‌اند.^[۱-۴] مورتی^۲ (۲۰۰۷)، با آزمایش بر روی ستون‌های بتن‌آرمده در مقیاس واقعی و با تغییر در مقدار نسبت برش، نسبت نیروی محوری، مقدار آرماتورهای طولی و عرضی و لاپیندی آنها نشان داد که با تغییر در نسبت برش، الگوی ترک‌ها و مود شکست ستون‌ها تغییر می‌کند و با کاهش مقدار آرماتور طولی، رفتار شکننده‌تری خواهیم داشت و بیان کردند که کیفیت بتن، نقش مهمی در رفتار لرزه‌ی ستون کوتاه ندارد.^[۵-۶] جین^۳ و همکاران (۲۰۱۸)، با انجام آزمایش‌هایی روی نمونه‌های ستون بتن‌آرمه با تغییر در مقطع ستون، طول مؤثر ستون، نسبت برش، تنش فشاری، نیروی محوری، درصد آرماتورهای طولی و عرضی و نوع بارگذاری نمونه‌ها نشان دادند که نسبت برش مستقیماً در الگوی شکست ستون‌های بتن‌آرمه اثر می‌گذارد.^[۷] لی^۴ و همکاران (۲۰۱۹)، با بررسی آزمایشگاهی بر روی چند ستون کوتاه و متوسط بتن‌آرمه و با اندازه‌گیری درصد

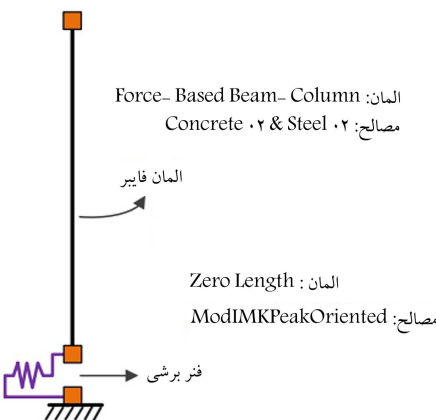
ایجاد ستون کوتاه، مسئله‌یی است که می‌توان به آن از دید مهندسی، معماری و ساخت نگاه کرد. از دید مهندسی می‌توان به برخکش اعضاء سازه‌یی و غیرسازه‌یی، وجود تیرهای میان‌طبقة و غیره اشاره کرد؛ از منظر معماری، تصمیمات معماری برای جنبه‌های زیباسازی ساختمان، بازشوهای ایجاد شده در قاب‌ها و غیره را نام برد و از نقطه‌نظر ساخت می‌توان به ساخت و ساز در زمین‌های شبیه دار اشاره کرد. در ستون‌های لاغر تحت بارگذاری جانبی، مفصل خشمی تشکیل می‌شود؛ در حالی که در ستون‌های کوتاه، ستون قبیل از آن‌که به طرفیت خشمی خود برسد، دچار شکست برشی می‌شود. در زلزله‌های پیشین، ستون‌های کوتاه از نگاه کوتاه برشی به آسیب و فروریزش در تعداد زیادی از ساختمان‌های بتی مسلح شده‌اند. به علت شکل پذیری پایین و رفتار شکننده‌ی شکست برشی ستون‌ها، باید از مکانیزم گسیختگی اخیر احتراز شود.

مطالعات متعددی در عوامل مؤثر در شکست برشی ستون در ادبیات فنی وجود دارد و مدل‌های مقاومت برشی متفاوتی پیشنهاد شده‌اند، که بر اساس آنها، مقاومت

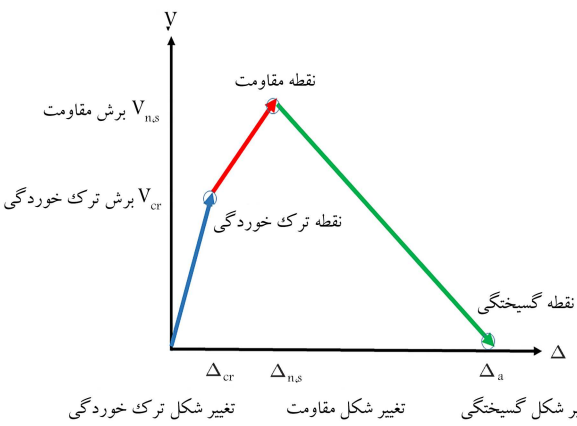
* نویسنده مسئول

تاریخ: دریافت ۱۷/۰۷/۱۴۰۰، اصلاحیه ۱۳/۰۱/۱۴۰۰، پذیرش ۲۲/۱۰/۱۴۰۰.

DOI:10.24200/J30.2022.59055.3021



شکل ۱. مدل ارائه شده جهت مدل‌سازی ستون با در نظر گرفتن رفتار برشی.



شکل ۲. منحنی نیرو - تغییرشکل ارائه شده برای ستون گسیخته شده در برش.

به آن معرفی کرد. قابل ذکر است که با مدل‌سازی یک سیستم تک درجه‌ی آزادی و اختصاص دادن مصالح مورد نظر به آن و در ادامه، با تحلیل بازافزون سیستم، پایش رفتار مصالح، صورت گرفته و با نمونه‌های آزمایشگاهی ارائه شده در جدول ۱ مقایسه شده است. در پژوهش حاضر، از یک رابطه‌ی سه‌خطی برای مدل‌سازی رفتار لرزه‌ی ستون‌ها استفاده شده است.

مقادیر مربوط به نقاط کلیدی در شکل ۲ با استفاده از روابط ۱ و ۲ به دست می‌آیند:

$$V_{shear} = 0.27\lambda \sqrt{f'_c b d} + \frac{Nd}{4h} \quad (1)$$

$$V_{flexural} = \left[0.05\lambda \sqrt{f'_c} + \frac{h(0.1\lambda \sqrt{f'_c} + \frac{0.4N}{bh})}{\frac{M}{V} - \frac{h}{2}} \right] bd \quad (2)$$

رابطه‌ی ۱، مقاومت ترک‌خوردگی ترک برشی جان و رابطه‌ی ۲، مقاومت ترک‌خوردگی ترک برشی خمشی را نشان می‌دهد. مقاومت برشی ترک‌خوردگی، کمینه‌ی دو مقدار اخیر در نظر گرفته می‌شود. در روابط اخیر λ ضریب نوع بتن، f'_c مقاومت مشخصه بتن، b عرض مقطع ستون، d عمق مؤثر مقطع ستون، N نیروی محوری، h عمق مقطع ستون، M لنتگر مقطع و V برش مقطع هستند.

تعاریف و مقادیر پارامترهای مورد نیاز در روابط ۱ و ۲ و روابط تکمیلی علاوه بر مبانی موجود در آینه‌نامه‌ی ASCE ۴۱-۱۳، از مطالعات لی و همکاران (۲۰۱۴)، لی و هوانگ (۲۰۱۶)، لی و همکاران (۲۰۱۹) و همچنین شن و همکاران (۲۰۲۱)

تغییرشکل برشی در بیشینه‌ی جابه‌جایی، تعیین نقطه‌ی ترک‌خوردگی و نقطه‌ی بیشینه‌ی مقاومت و نقطه‌ی شکست ستون‌های کوتاه متوسط، مکانیزم انتقال برش مک‌گریگر را برای ستون‌های ذکر شده پیشنهاد دادند. همچنین به نقش بحرانی آرماتورهای عرضی در مکانیزم انتقال برش اشاره کردند.^[۲] بهشتی اول و کتابداری (۲۰۱۹)، با استفاده از الگوریتم زتیک به تعیین مقاومت برشی ستون کوتاه بتنی مستطیلی پرداختند.^[۳]

همان طور که ملاحظه می‌شود، موارد مؤثر متعددی در تشکیل ستون کوتاه گزارش شده است، اما با وجود این، تاکنون بررسی جامعی صورت نگرفته و جهت تشخیص سریع ستون کوتاه لازم است تا موارد متعدد مؤثر به طور همزمان بررسی و میران اهمیت نسبی آنها سنجیده شود. از نتایج حاصل از این کار می‌توان در ایجاد ملاک و معیار برای تشکیل ستون کوتاه و همچنین ارائه‌ی مدل‌های پیش‌بینی رخداد شکست برشی ستون‌ها استفاده کرد. لذا در مطالعه‌ی حاضر، با در نظر گرفتن ۱۰ پارامتر مؤثر، شامل: اندازه مقطع ستون (L_c)، مقاومت فشاری بتن (f'_c)، عرضی ستون (b و d)، طول مؤثر ستون (L_c)، مقاومت محوری (\bar{P})، نسبت مقاومت تسليم آرماتور (f_y)، طول تیر (L_b)، نسبت نیروی محوری (t_w) به بررسی ارتفاع دیوار پر کننده به ارتفاع ستون (\bar{H}_d) و ضخامت دیوار (t_w) به بررسی اهمیت هر یک از آنها در تشکیل پدیده‌ی ستون کوتاه پرداخته شده است. در ابتدا لازم است تا یک مدل سازی‌ی ایجاد و صحبت‌سنجی شود تا در مرحله‌ی بعدی، با استفاده از الگوریتم مومنت‌کارلو و در نظر گرفتن توزیع نرمال برای تمامی پارامترها، تعداد ۲۰۰ هزار حالت مدل ایجاد شود. سپس با استفاده از تحلیل‌های پوش‌آور بر روی قاب خمشی بتنی یک طبقه، نوع شکست در ستون تعیین شده است. در ادامه، تمامی داده‌های مرتبط به پارامترهای مذکور با استفاده از روش مقیاس کردن هموزن شده‌اند. در نهایت با استفاده از داده‌های اصلاح شده به بررسی اهمیت پارامترهای مختلف در تشکیل پدیده‌ی ستون کوتاه پرداخته شده است. این کار با استفاده از چند روش متداول در زمینه‌ی یادگیری ماشین، شامل: تحلیل مؤلفه‌ی اساسی (PCA)^[۴] درخت تصمیم (DT)^[۵] و آزمون F (FT)^[۶] و همچنین ضرایب همبستگی اسپیرمن^[۷] و پیرسون^[۸] صورت پذیرفته است. در نوشتار حاضر، از مبانی آماری و الگوریتم‌های یادگیری ماشین متنوعی استفاده شده است، که خواسته جهت مطالعه‌ی بیشتر به مراجع ارجاع داده می‌شود.

۲. مدل‌سازی در نرم‌افزار OpenSees

نرم‌افزار OpenSees، یک نرم‌افزار اجراء محدود است، که مجموعه‌ی کاملی از المان‌ها، مصالح و روش‌های مختلف تحلیلی را در بر دارد.^[۹] در شکل ۱، نمایشگر مدل در نظر گرفته شده برای ستون‌ها مشاهده می‌شود. در مدل‌سازی ستون کوتاه از یک فنا برشی و یک المان خمشی، که به صورت سری قرار گرفته‌اند، استفاده شده است. المان فنا برشی برای در نظر گرفتن رفتار برشی ستون و المان فایبر برای در نظر گرفتن رفتار خمشی استفاده شده‌اند. جهت اعمال رفتار برشی مذکور به ستون در نرم‌افزار OpenSees، از یک المان ZeroLength استفاده شده است. المان ZeroLength توسط دو نقطه در یک موقعیت مکانی تعریف می‌شود و با توجه به رفتار مورد انتظار آن، باید مصالح غیرخطی مناسب، که بیان‌گر رفتار صحیح المان باشد، را اختصاص داد. مصالح غیرخطی استفاده شده در بخش حاضر از نوع ModIMKPeakOriented هستند، که باید با توجه به پارامترهای مورد نیاز مصالح مذکور، رفتار برشی مدنظر را

جدول ۱. نمونه های آزمایشگاهی استفاده شده جهت صحبت سنجی مدل.

| $N/A_g f'_c$ | f_{yt} (MPa) | f_{yl} (MPa) | f'_c (MPa) | ρ_t (%) | s (mm) | ρ_l (%) | L (mm) | $B \times H$ (mm) | L/H | اسم نمونه | مطالعه |
|--------------|-------------------|-------------------|-----------------|-----------------|-------------|-----------------|-------------|----------------------|-------|-----------|-------------------|
| ٠/٠٩ | ٤٣٠ | ٤٣٨ | ٢٧/٥ | ١/٢٧ | ١٠٠ | ٣/١ | ٥٠٠ | ٣٠٠ × ٥٠٠ | ١ | ١DL | |
| ٠/٢٩ | ٤٣٠ | ٤٣٨ | ٢٥/٢ | ١/٢٧ | ١٠٠ | ٣/١ | | | | ١DH | |
| ٠/٠٩ | ٤٣٠ | ٤٣٨ | ٢٥/٧ | ١/٢٧ | ١٠٠ | ٣/١ | | | | ٢DL | لی و همکاران [١] |
| ٠/٣ | ٤٣٠ | ٤٣٨ | ٢٤/٤ | ١/٢٧ | ١٠٠ | ٣/١ | ١٠٠ | ٣٠٠ × ٥٠٠ | ٢ | ٢DH | |
| ٠/١ | ٤٥٨ | ٤٣٨ | ٢٣/٤ | ٠/٢٤ | ٢٠٠ | ٣/١ | | | | ٢NL | |
| ٠/٢٩ | ٤٥٨ | ٤٣٨ | ٢٥/٥ | ٠/٢٤ | ٢٠٠ | ٣/١ | | | | ٢NH | |
| ٠/٠٧ | ٤٤٨ | ٤٧٢ | ٣٤/٥ | ٠/٤٣ | ١٠٠ | ٢/٢٤ | | | | ٣DL | |
| ٠/٠٧ | ٤٤٨ | ٤٧٢ | ٣٣/٥ | ٠/١ | ٣٠٠ | ٢/٢٤ | ١٥٠٠ | ٥٠٠ × ٥٠٠ | ٣ | ٣NL | لی و همکاران [٢] |
| ٠/٢٣ | ٤٤٨ | ٤٧٢ | ٣٢/٤ | ٠/١ | ٣٠٠ | ٢/٢٤ | | | | ٣NH | |
| ٠/٠٨ | ٤٤٨ | ٤٧٢ | ٣٠/٧ | ٠/٤٣ | ١٠٠ | ٢/٢٤ | ٢٠٠٠ | ٥٠٠ × ٥٠٠ | ٤ | ٤DL | |
| ٠/٠٨ | ٤٤٨ | ٤٧٢ | ٢٩/٧ | ٠/١ | ٣٠٠ | ٢/٢٤ | | | | ٤NL | |
| ٠/٠٩ | ٤٠٠ | ٣٣١ | ٢٥/٦ | ٠/٠٧ | ٤٥٧ | ٣/١٢ | | | | ٣CLH١٨ | |
| ٠/٢٦ | ٤٠٠ | ٣٣١ | ٢٧/٦ | ٠/٠٧ | ٤٥٧ | ٣/١٢ | ٢٩٤٦ | ٤٥٧ × ٤٥٧ | ٦/٤ | ٣CMH١٨ | لين و همکاران [٣] |
| ٠/٢٨ | ٤٠٠ | ٣٣١ | ٢٥/٥ | ٠/٠٧ | ٤٥٧ | ١/١٩ | | | | ٢CMH١٨ | |

مقاومت مشخصه‌ی بتن، f_{yL} مقاومت سلیم آرماتور طولی، f_{yt} مقاومت تسليم آرماتور عرضی، N نیروی محوری و A_g سطح مقطع برشی هستند.

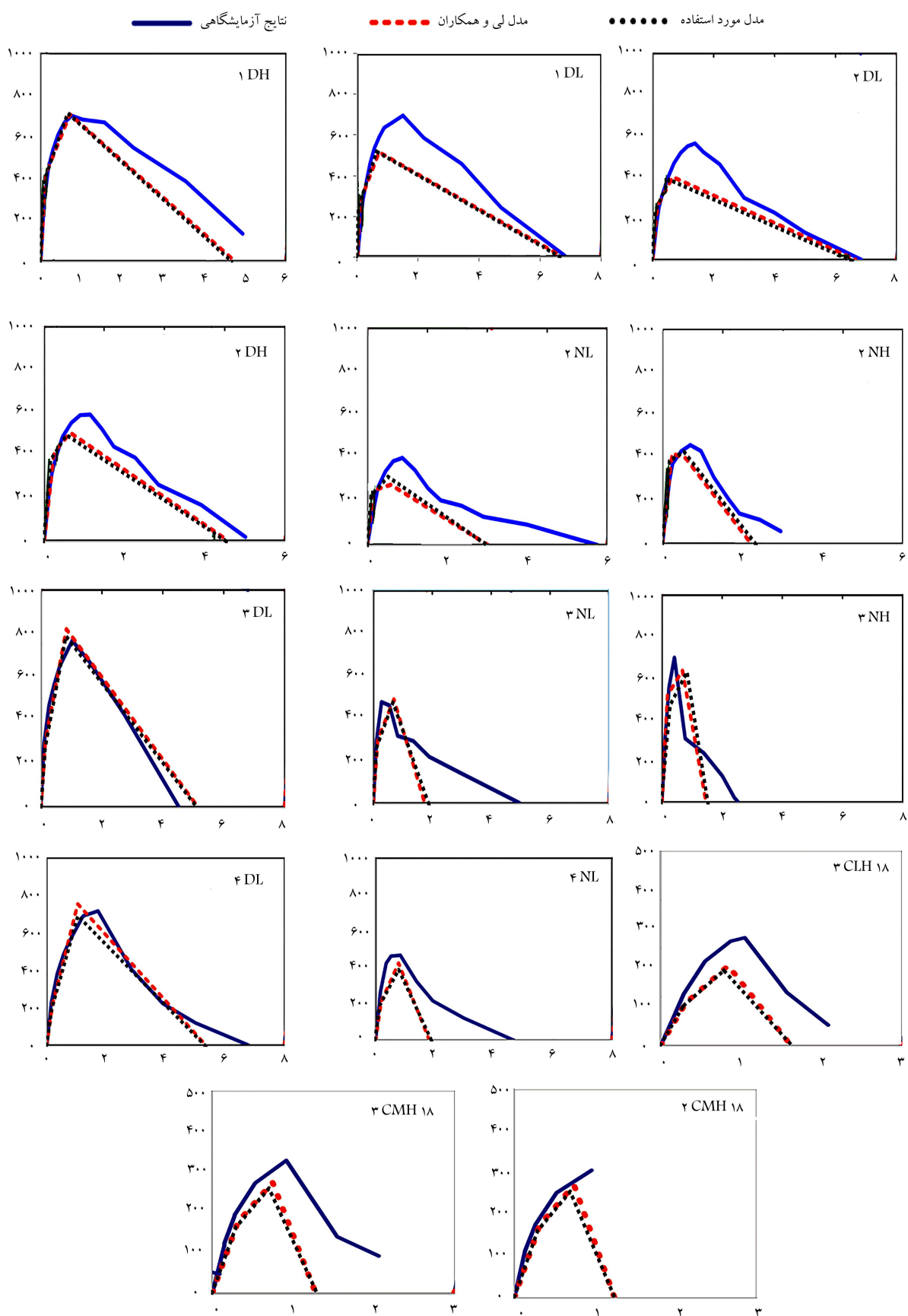
برگرفته شده است.^[۱-۴] در شکل ۳، تطابق رفتار مصالح اتخاذ شده با مدل های آزمایشگاهی مشاهده می شود.

۱. مکانیزم یاسخ مدل پیشنهادی

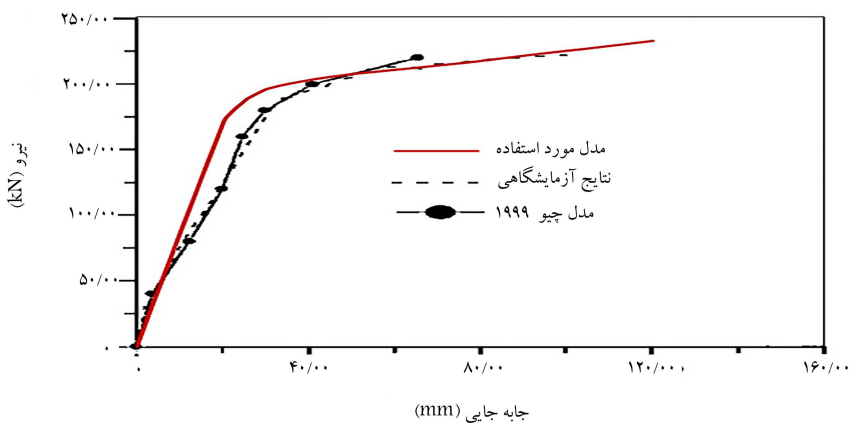
مدل تهیه شده، رفتار برشی ستون های کوتاه را توسط یک المان ماکرو نشان می دهد.
رفتار خمی و رفتار برشی به صورتی همبسته شده اند که معادلات تعادل و شرایط
همسازی را ارضا می کنند. تحت بارهای جانبی نیروی برشی هر دو المان با یکدیگر
برابر است، ولی مقدار تغییرشکل هر المان با یکدیگر متفاوت خواهد بود. اگر ظرفیت
برشی ستون از مقاومت خمی آن کمتر باشد، ستون در برش گسیخته خواهد شد.
در شکل ۵، پاسخ شکست برشی ستون به صورت شمنیک مشاهده می شود. قبل
از رسیدن ستون به مقاومت برشی خود، پاسخ برشی و پاسخ خمی به طور هم زمان
و در یک خط گسترش می باشند. زمانی که مقاومت برشی مورد نیاز از ظرفیت
برشی تجاوز کند، شکست برشی رخ خواهد داد و پاسخ برشی وارد مرحله‌ی نزوی
می شود، که میزان قابل توجهی زوال در رفتار آن مشاهده می شود و متعاقباً رفتار
برشی بر سازه حاکم می شود و مقاومت ستون نیز توسط نیروی برشی المان برشی
تعیین می شود. اگر ظرفیت برشی ستون از مقاومت خمی آن بیشتر باشد، ستون
در خمی گسیخته خواهد شد. در شکل ۶ پاسخ شکست خمی ستون مشاهده
می شود. قبل از رسیدن ستون به مقاومت خمی خود، پاسخ برشی و پاسخ خمی
به طور هم زمان و در یک خط گسترش می باشند. زمانی که مقاومت برشی مورد نیاز
از ظرفیت خمی تجاوز کند، شکست خمی رخ خواهد داد و پاسخ خمی، وارد

برای مدل سازی رفتار خمیستی ستون در نرم افزار OpenSees، از المان ForceBeamColumn که به یک مقطع فایبر اعمال می شود، استفاده شده است. به طور کلی، المان ها، نیروهای داخلی و ماتریس سختی خود را محاسبه و بروزرسانی می کنند. المان ForceBeamColumn جهت انجام فرایند اخیر از توابع درون با بی نیروهای داخلی استفاده می کند. ورودی توابع مذکور از جنس نیرو است و آنها، نیروهای گردی موجود را به نیروهای داخلی تبدیل می کنند. همچنین از مدل ارائه شده توسط مصطفایی و کایاسوا (۲۰۰۴) جهت مدل سازی دیوار استفاده شده است.^[۲۲] به طور کلی مودهای شکست میانفاب به ۴ دسته‌ی کلی تقسیم می شوند: (۱) شکست برشی ناشی از لغزش به صورت افقی، (۲) شکست فشاری قطری، (۳) ترک خودگی کششی قطری، که یک شکست کلی محسوب نمی شود و (۴) مود شکست کششی ناشی از خمش، که معمولاً مود شکست بحرانی به حساب نمی آید. برای مدل سازی دیوار میانفاب در نرم افزار OpenSees، از المان Truss و مصالح ModIMKPeakOriented استفاده شده است. به منظور راستی آزمایی مدل سازی قاب از نمونه‌ی آزمایشگاهی چیو^۹ و همکاران^(۱۹۹۹) استفاده شده است، که مشخصات هندسی آن در شکل ۴ مشاهده می شود.^[۲۳] که در آن منحنی بار افزون نشانگر تطابق مدل ایجاد شده با مدل آزمایشگاهی است.

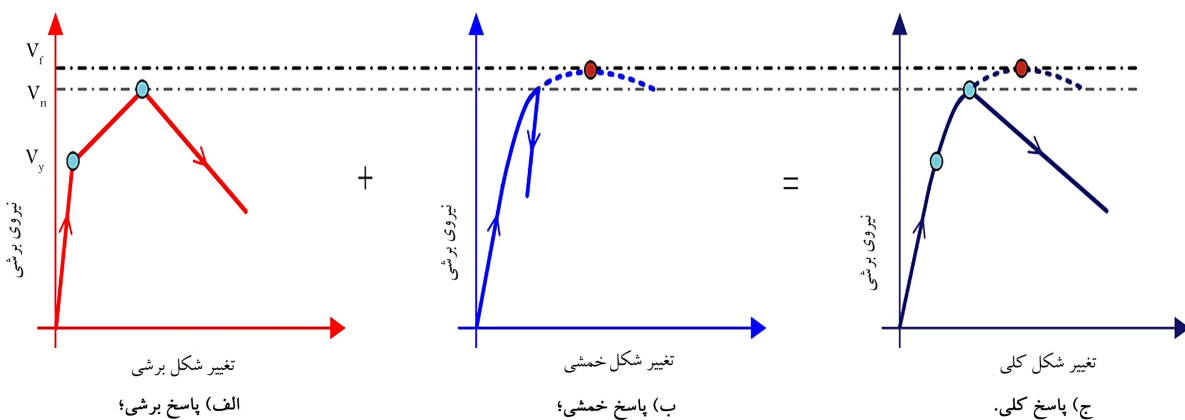
در جدول ۱، L ارتفاع ستون، B و H ابعاد ستون، ρ درصد آرماتورهای طولی، p_t درصد آرماتورهای عرضی، s فاصله‌ی آرماتورهای عرضی، از یکدیگر، f'_c



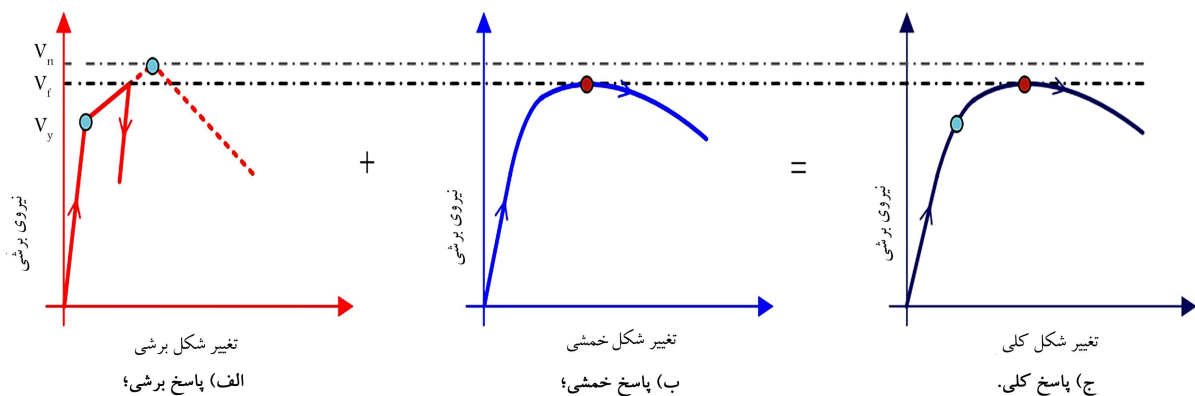
شکل ۳. تطابق رفتار مصالح استفاده شده با مدل های آزمایشگاهی (محور قائم بار جانبی بر حسب کیلونیوتن، محور افقی دریفت بر حسب درصد).



شکل ۴. تطابق رفتار قاب مدل سازی شده با مدل های آزمایشگاهی.



شکل ۵. کلیه پاسخ ها در مود شکست برشی.



شکل ۶. کلیه پاسخ ها در مود شکست خمسي.

مرحله‌ی نزولی می‌شود و متعاقباً رفتار خمسي بر سازه حاکم می‌شود. خارج از محدوده‌ی در نظر گرفته شده حذف شدند، تا مقادیر پارامترها در یک بازه‌ی منطقی قرار بگیرند.

۲.۲. ایجاد پایگاه اطلاعاتی گسیختگی خمسي یا برشی ستون

در ابتداء برای ایجاد قاب‌های تصادفی متشکل از ۱۰ پارامتر انتخابی، پایگاه داده شامل ۲۰۰۰/۰۰۰ مدل با استفاده از الگوریتم مونت‌کارلو ایجاد شده است.^[۲۵]

۳.۲. کنترل توزیع پارامترها پس از حذف موارد و اگرآ شده با توجه به آنکه در انجام تحلیل‌ها حدود ۰.۵٪ از نمونه‌ها به دلیل واگرایی مدل حذف شده‌اند، باید کنترل شود که توزیع مقادیر پارامترها تغییر نکرده باشد. برای بررسی نرمال بودن توزیع پارامترها، از آزمون نمودار چندک استفاده شده است.^[۱۹]

با توجه به اینکه در توزیع نرمال نمی‌توان کمینه و بیشینه‌ی متصور شد، مقادیر

تصمیم (DT) و آزمون F (FT)، میزان اهمیت پارامترهای مدنظر در تشکیل پدیده ستون کوتاه،^[۲۷، ۲۸] بررسی و خلاصه‌ی نتایج در ادامه ارائه شده است.

۱.۲.۳. روش تحلیل مؤلفه‌ی اساسی (PCA)

در ابتدا، با استفاده از روش تحلیل مؤلفه‌ی اساسی، ترتیب اهمیت پارامترها در تشکیل ستون کوتاه مشخص شده است. در شکل ۹ - الف مشاهده می‌شود که با استفاده از روش PCA واریانس پارامترهای مختلف و تقریباً ۷ پارامتر اول، اهمیت تقریباً یکسانی دارند. این موضوع در شکل ۹ - ب نیز مشاهده می‌شود، که مطابق آن با در نظر گرفتن تعداد پارامترهای بیشتر، میزان واریانس تجمعی تقریباً به صورت خطی افزایش پیدا کرده است. به عنوان مثال، برای رسیدن به واریانس تجمعی ۹۰ درصدی، باید ۸ پارامتر از ۱۵ پارامتر بررسی شده را لحاظ کرد. لذا می‌توان بدین صورت نتیجه‌گیری کرد که روش PCA قادر به تشخیص کارآمد مؤثرترین پارامترها نخواهد بود و نمی‌توان با استفاده از روش PCA با کاهش تعداد متغیرها به نتایج مناسبی دست پیدا کرد.

۲.۲.۳. درخت تصمیم (DT)

در شکل ۱۰ - الف مشاهده می‌شود که با استفاده از روش درخت تصمیم، واریانس پارامترها متفاوت است و تقریباً ۴ پارامتر، اهمیت بالایی نسبت به سایر پارامترها دارند. با مشاهده‌ی نتایج روش درخت تصمیم می‌توان این‌گونه استنباط کرد که مؤثرترین پارامترها در تشکیل ستون کوتاه به ترتیب عبارت‌اند از:

- ✓ نسبت آرماتور عرضی ستون با ضریب اهمیت ۰/۲۵،
- ✓ نسبت ارتفاع دیوار به ستون با ضریب اهمیت ۰/۲۱،
- ✓ ارتفاع مقطع ستون با ضریب اهمیت ۰/۲،
- ✓ نسبت آرماتور طولی ستون با ضریب اهمیت ۰/۱۲.

سایر پارامترها، همگی ضریب اهمیت کمتر از ۰/۰۵ دارند. کم‌اهمیت‌ترین پارامترها نیز عبارت‌اند از: نسبت بار محوری و تنفس تسليم آرماتور. در شکل ۱۰ - ب مشاهده می‌شود که شبیه نمودار در ابتدا زیاد و سپس کاهش پیدا کرده است، که در واقع بیان‌گر اهمیت بالای پارامترهای ابتدایی و اهمیت خیلی کمتر سایر پارامترهاست. به عنوان مثال، برای رسیدن به واریانس تجمعی ۹۰ درصدی، باید ۵ پارامتر از ۱۵ پارامتر مورد بررسی را لحاظ کرد.

۳.۲.۳. آزمون F (F-Test)

در شکل ۱۱ - الف مشاهده می‌شود که با استفاده از روش آزمون F، واریانس پارامترها متفاوت است و دو پارامتر، اهمیت نسبتاً بالایی نسبت به سایر پارامترها دارند، که به ترتیب اهمیت عبارت‌اند از:

- ✓ نسبت آرماتور عرضی ستون: $F - value = ۳۰۰۰۰$,
- ✓ نسبت ارتفاع دیوار به ستون: $F - value = ۲۵۰۰۰$,
- ✓ ارتفاع مقطع ستون با: $F - value = ۱۲۵۰۰$,
- ✓ نسبت آرماتور طولی ستون با: $F - value = ۹۰۰۰$.

سایر پارامترها، همگی $F-value$ کمتر از ۵۰۰۰ دارند. کم‌اهمیت‌ترین پارامترها به ترتیب عبارت از تنفس تسليم آرماتور و نسبت بار محوری هستند. در شکل ۱۱ - ب مشاهده می‌شود که شبیه نمودار در ابتدا زیاد و سپس کاهش پیدا کرده است، که در واقع بیان‌گر اهمیت بالای پارامترهای ابتدایی و اهمیت خیلی کمتر سایر پارامترهاست. به عنوان مثال، برای رسیدن به واریانس تجمعی ۹۰ درصدی، باید ۳ پارامتر از ۱۵ پارامتر مورد بررسی را لحاظ کرد.

جدول ۲. اطلاعات آماری مربوط به پارامترها.

| ردیف | پارامتر | میانگین | انحراف معیار | حد پایین | حد بالا |
|------|-----------------|---------|--------------|----------|---------|
| ۱ | (t_w) | ۰/۲ | ۰/۰۲ | ۰/۱۵ | ۰/۲۵ |
| ۲ | (h) | ۴۲/۵ | ۸/۵ | ۲۵ | ۶۰ |
| ۳ | (L_c) | ۲/۹ | ۰/۲۹ | ۲/۴ | ۳/۴ |
| ۴ | (ρ_1) | ۰/۰۲ | ۰/۰۰۵ | ۰/۰۱ | ۰/۰۳ |
| ۵ | (ρ_s) | ۰/۰۰۲۱ | ۰/۰۰۰۶ | ۰/۰۰۰۷ | ۰/۰۰۳۵ |
| ۶ | (L_b) | ۴/۲ | ۰/۸۴ | ۲/۴ | ۶ |
| ۷ | (\bar{P}) | ۰/۴ | ۰/۱۴ | ۰/۱ | ۰/۷ |
| ۸ | (\bar{H}_w) | ۰/۶۵ | ۰/۱۳ | ۰/۴ | ۰/۹ |
| ۹ | (f'_c) | ۲۰/۵ | ۲/۰۵ | ۱۶ | ۲۵ |
| ۱۰ | (fy) | ۳۷۰ | ۱۸/۵ | ۳۴۰ | ۴۰۰ |

در روش آزمون نرمال بودن QQ-Plot، هرچه منحنی به دست آمده به خط نیمساز نمودار نزدیک‌تر باشد، نشان‌دهنده‌ی تطابق بهتر با توزیع نرمال است. همان‌طور که در شکل ۷ مشاهده می‌شود، برای تمامی پارامترها، علی‌رغم حذف شدن برخی از نمونه‌ها به علت واگرایی مدل سازه‌یی، توزیع داده‌ها دارای تطابق بسیار خوبی با توزیع نرمال هستند.

از آنجاکه با اتخاذ مقادیر حد پایین و حد بالا برای پارامترهای منتخب مطابق صفر، در واقع از توزیع نرمال بریده شده^{۱۰} استفاده شده است، در قسمت‌های ابتدایی و انتهایی نمودار، منحنی‌های QQ-Plot از خط نیمساز فاصله دارند. نکته‌ی قابل ذکر دیگر این‌که در مورد پارامترهای ضخامت دیوار میانقاب و ارتفاع مقطع ستون، با توجه به این‌که از مقادیر نایپوسته استفاده شده است، منحنی QQ-Plot به صورت پله‌یی ایجاد شده است. همچنین لازم به ذکر است که به علت پیوسته نبودن مقادیر بعد ستون و ضخامت دیوار نمودار ایجاد شده به صورت پله‌یی است؛ اما با وجود این، تطابق با توزیع نرمال مشاهده می‌شود.

۳. بررسی اهمیت پارامترهای انتخابی

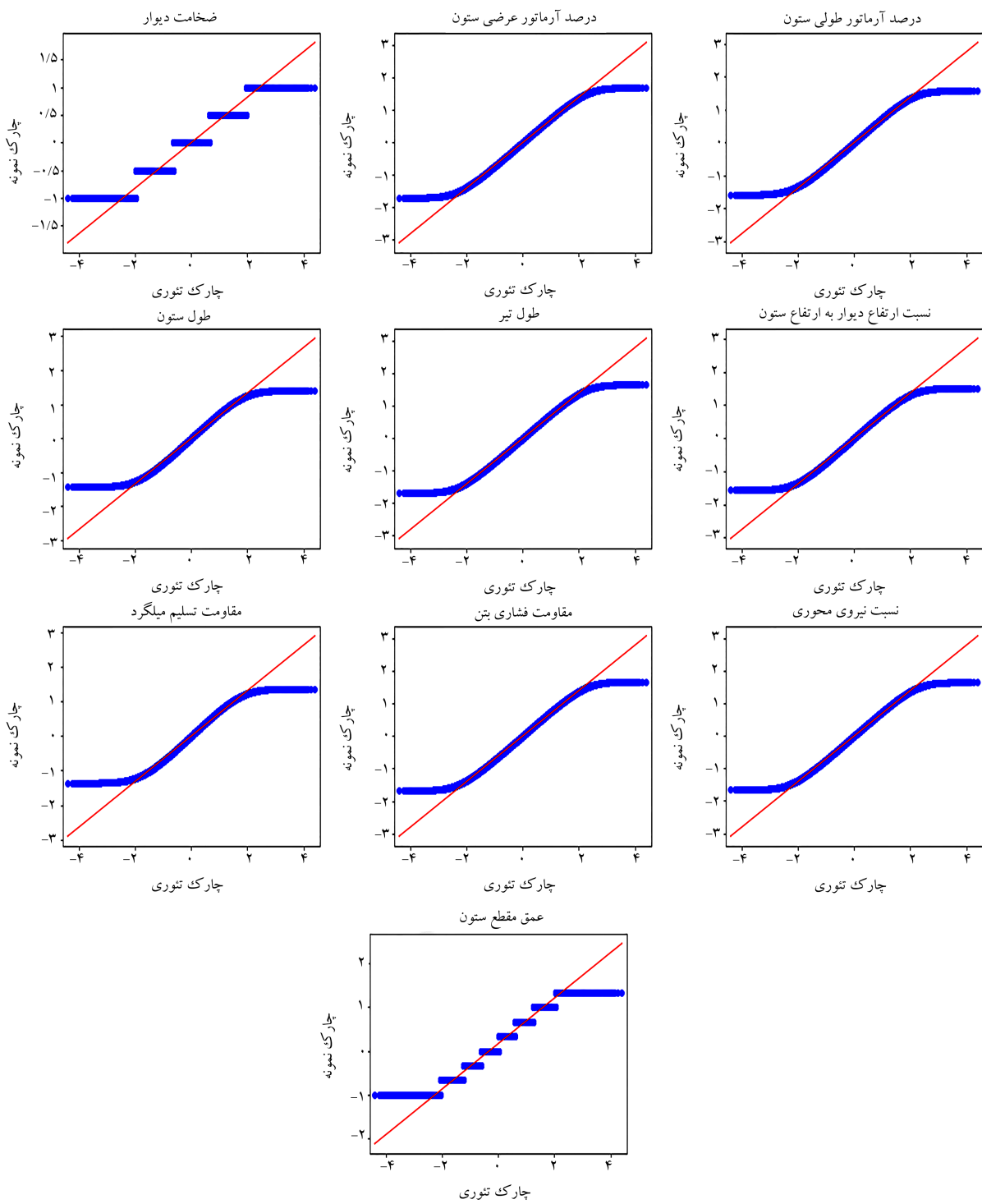
۳.۱. مقیاس کردن داده‌های پارامترها

تحلیل مؤلفه‌ی اساسی روی نسخه‌ی نرمال شده‌ی پارامترهای منتخب قابل انجام است. این امر به آن دلیل است که پارامترهای اصلی، مقیاس‌های گوناگونی دارند و واضح است که مقدار واریانس برخی از آنها، اعداد بزرگی خواهد بود. ابتدا باید کلیه‌ی پارامترهای ارائه شده در جدول ۲ نرمال‌سازی شوند،^[۱۲] تا در بخش بعدی به درستی از روش‌های یادگیری ماشین و همبستگی استفاده شود. در پژوهش حاضر، از روش مقیاس استوار^{۱۱} استفاده شده است.^[۲۶] در شکل ۸، دو نمونه از پارامترهای مقیاس شده مشاهده می‌شود، که مطابق آن می‌توان دریافت که با مقیاس کردن، نوع توزیع بدون تغییر باقی مانده است و حال می‌توان از داده‌های اخیر برای تعیین مهم‌ترین پارامتر در تشکیل ستون کوتاه استفاده کرد.

۳.۲. بررسی اهمیت پارامترهای مختلف با استفاده از روش‌های

یادگیری ماشین

در بخش حاضر، با استفاده از سه روش تحلیل: مؤلفه‌ی اساسی (PCA)، درخت



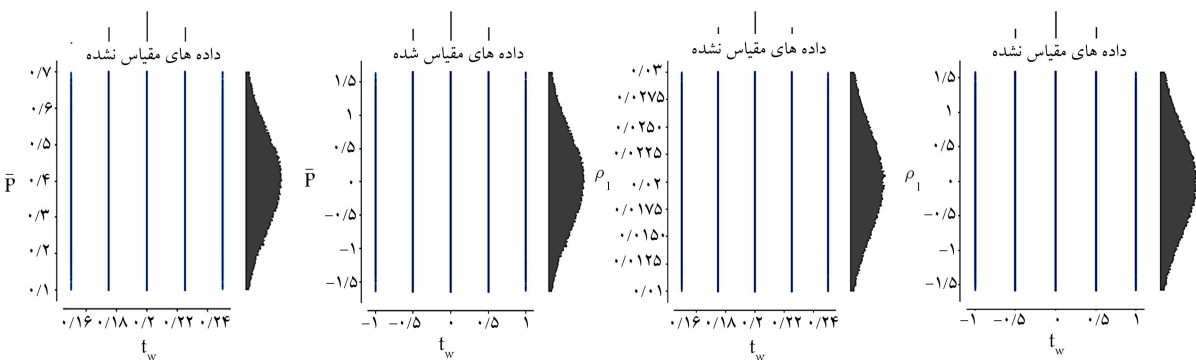
شکل ۷. کنترل نرمال بودن داده‌های اصلاح شده با استفاده از روش QQ-Plot.

معکوس بین رتبه‌ها را نشان می‌دهد. اگر ضریب همبستگی، مقداری نزدیک صفر شود، مشخص می‌شود که رابطه‌ی خطی بین دو متغیر وجود ندارد. در مقابل، اگر ضریب همبستگی پیرسون مقداری نزدیک یا برابر با ۱ یا -۱ باشد، وجود رابطه‌ی شدید خطی بین دو متغیر تأیید خواهد شد. قطر اصلی ماتریس مذکور برابر ۱ است، زیرا هر ویژگی با خودش طبیعتاً همبستگی بیشینه دارد. اعداد مشبت نشان می‌دهند که با افزایش یک پارامتر، پارامتر دوم نیز افزایش

۴. بررسی اهمیت پارامترهای مختلف با استفاده از روش‌های همبستگی

۱.۴. روش همبستگی پیرسون

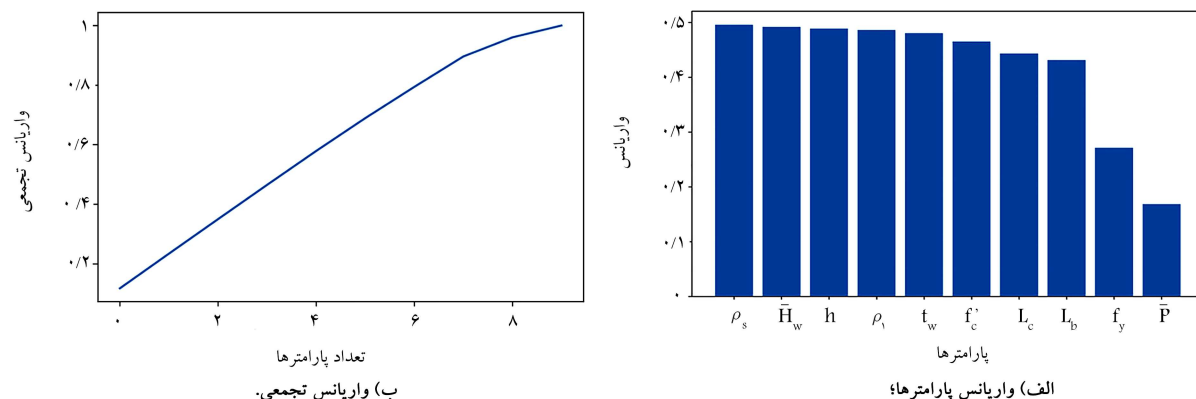
روش همبستگی پیرسون یک روش تحلیل همبستگی پارامتری است. در تحلیل همبستگی مقدار ۱، نشان‌دهنده‌ی انطباق کامل بین رتبه‌ها و مقدار ۱ - نیز انطباق



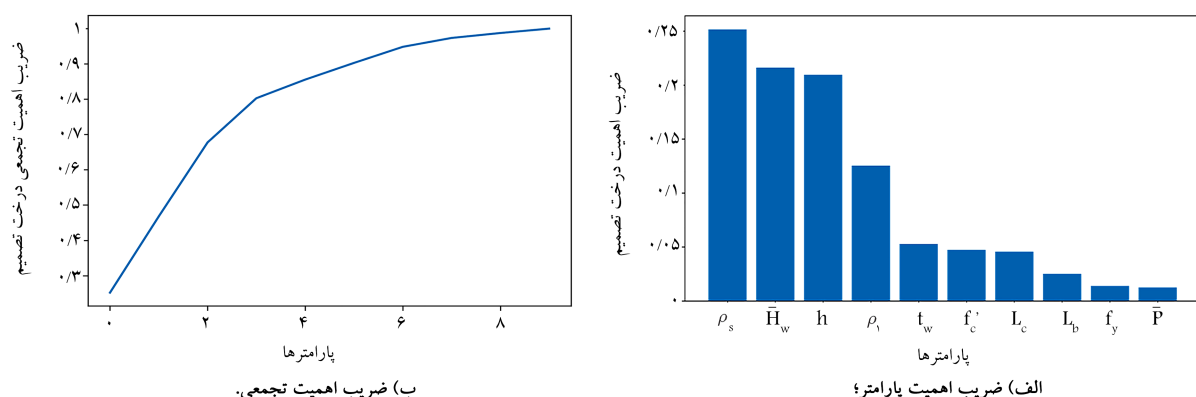
ب) نسبت نیروی محوری و ضخامت دیوار.

الف) درصد آرماتور طولی ستون و ضخامت دیوار؛

شکل ۸. مقیاس کردن پارامترها.



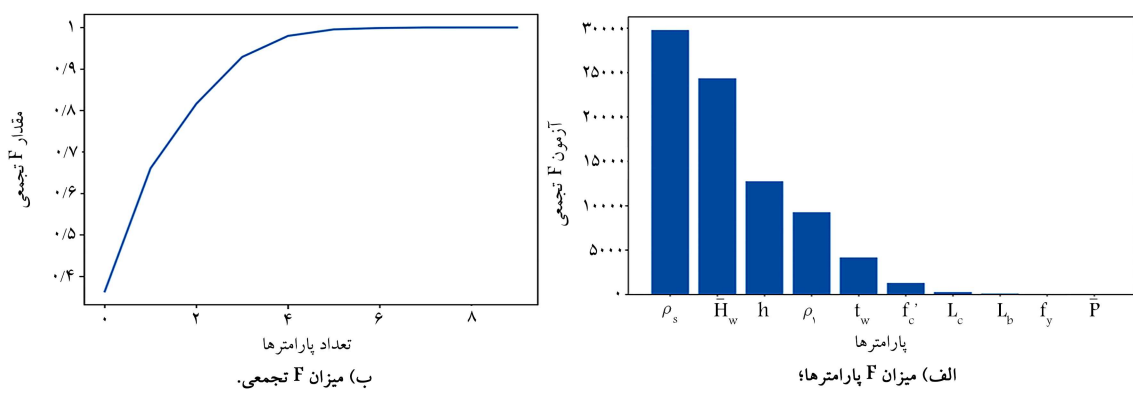
شکل ۹. نتایج روش PCA.



ب) ضریب اهمیت تجمعی.

الف) ضریب اهمیت پارامترها؛

شکل ۱۰. نتایج روش D.T.



ب) میزان F تجمعی.

الف) میزان F پارامترها؛

شکل ۱۱. نتایج روش آزمون F.

۲.۴. روش همبستگی اسپیرمن

روش همبستگی اسپیرمن، یک روش تحلیل همبستگی ناپارامتری است، که تفسیر نتایج آن نیز مشابه روش همبستگی پیرسون است.^[۱۹] بررسی نقشه‌ی گرمایی مربوط به همبستگی اسپیرمن در شکل ۱۳ نشان می‌دهد که مؤثرین پارامترها در تشکیل ستون کوتاه به ترتیب عبارت‌اند از:

- ✓ درصد آرماتورهای عرضی ستون با ضریب همبستگی $-0.5 / 4$.
- ✓ نسبت ارتفاع دیوار میانقاب به ارتفاع ستون با ضریب همبستگی $0.3 / 3$.
- ✓ عمق مقطع ستون با ضریب همبستگی $-0.5 / 3$.
- ✓ درصد آرماتور طولی ستون با ضریب همبستگی $0.5 / 2$.
- ✓ ضخامت دیوار میانقاب با ضریب همبستگی $0.1 / 1$.
- همچنین کم اثرترین پارامترها در تشکیل ستون کوتاه به ترتیب عبارت‌اند از:
- ✓ تنش تسلیم آرماتور به ضریب همبستگی $0.001 / 0.001$.
- ✓ نسبت نیروی محوری با ضریب همبستگی $0.5 / 0.5$.
- ✓ طول تیر با ضریب همبستگی $0.5 / 0.2$.

ارتباط و همبستگی بین تمامی پارامترهای مدنظر، بسیار پایین است و روش همبستگی اسپیرمن نیز تأیید می‌کند که تمامی پارامترها مستقل‌اند در تشکیل پدیده‌ی ستون کوتاه مؤثر بوده‌اند.

با توجه به این که تطابق و همخوانی بسیار مناسبی در هر دو روش همبستگی وجود دارد، اثر پارامترهای مهم بدین صورت خواهد بود:

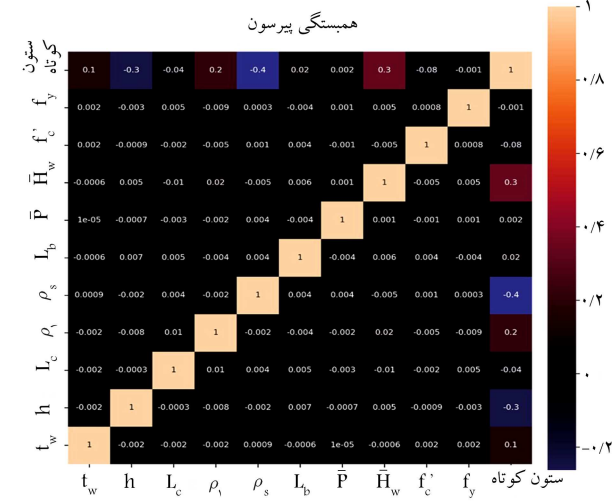
- ✓ با افزایش درصد آرماتورهای عرضی ستون، احتمال وقوع ستون کوتاه افزایش می‌یابد.

- ✓ با افزایش نسبت ارتفاع دیوار به ستون، احتمال وقوع ستون کوتاه کاهش می‌یابد.
- ✓ با افزایش عمق مقطع ستون، احتمال وقوع ستون کوتاه افزایش می‌یابد.
- ✓ با افزایش درصد آرماتور طولی ستون، احتمال وقوع ستون کوتاه کاهش می‌یابد.
- ✓ با افزایش ضخامت دیوار میانقاب، احتمال وقوع ستون کوتاه افزایش می‌یابد.

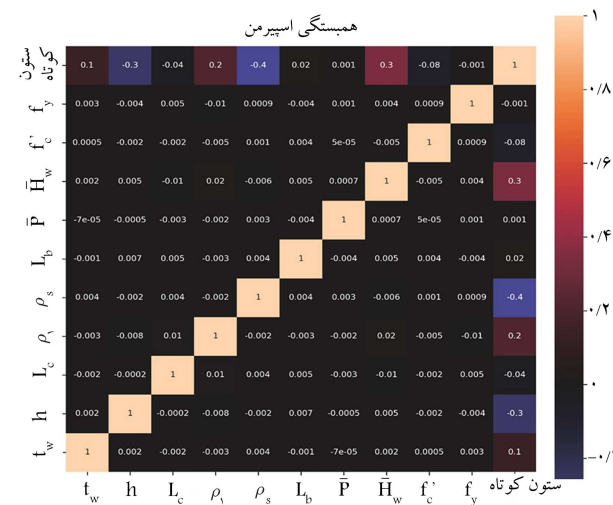
۵. نتیجه‌گیری

با وجود اهمیت زیاد ستون کوتاه در ایجاد آسیب و فروریخت ساختمان‌های بتُنی در زلزله‌های پیشین، تاکنون میزان اهمیت پارامترهای مؤثر در تشکیل پدیده‌ی ستون کوتاه به صورت جامع مشخص نشده است. در مطالعه‌ی حاضر، اهمیت پارامترهای مختلف با ایجاد یک پایگاه داده متشکل از 200×200 مدل قاب بتُنی مسلح یک طبقه در نرم افزار OpenSees، انجام تحلیل‌های پوش آور و تشخیص نوع شکست ستون در هر حالت با استفاده از روش‌های یادگیری ماشین و همبستگی بررسی شده است.

علی‌رغم موفق نبودن روش PCA در تشخیص مناسب میزان اهمیت پارامترها، روش‌های DT و آزمون F و همچنین روش‌های همبستگی پیرسون و اسپیرمن به خوبی قادر به شناسایی مهم‌ترین و کم‌اهمیت‌ترین پارامترها در شکست برشی ستون هستند. با توجه به تطابق روش‌های مذکور و جمع‌بندی تمامی نتایج، نهایتاً دو پارامتر درصد آرماتور برشی ستون و نسبت ارتفاع دیوار به ارتفاع ستون، به عنوان مهم‌ترین پارامترها معرفی شده‌اند. همچنین پارامتر عمق مقطع ستون و درصد آرماتور طولی ستون پارامترهای اصلی سوم و چهارم هستند.



شکل ۱۲. نقشه‌ی حرارتی برای روش همبستگی پیرسون.



شکل ۱۳. نقشه‌ی حرارتی در روش‌های همبستگی اسپیرمن.

می‌یابد.^[۱۸] بررسی نقشه‌ی گرمایی 12×12 مربوط به همبستگی پیرسون در شکل ۱۲ نشان می‌دهد که مؤثرین پارامترها در تشکیل ستون کوتاه به ترتیب عبارت‌اند از:

- ✓ درصد آرماتورهای عرضی ستون با ضریب همبستگی $0.4 / 4$.
- ✓ نسبت ارتفاع دیوار میانقاب به ارتفاع ستون با ضریب همبستگی $0.3 / 3$.
- ✓ عمق مقطع ستون با ضریب همبستگی $0.2 / 2$.
- ✓ درصد آرماتور طولی ستون با ضریب همبستگی $0.1 / 1$.
- ✓ ضخامت دیوار میانقاب با ضریب همبستگی $0.001 / 0.001$.
- وکم اثرترین پارامترها در تشکیل ستون کوتاه به ترتیب عبارت‌اند از:
- ✓ تنش تسلیم آرماتور به ضریب همبستگی $0.001 / 0.001$.
- ✓ نسبت نیروی محوری با ضریب همبستگی $0.002 / 0.002$.
- ✓ طول تیر با ضریب همبستگی $0.02 / 0.02$.

همچنین ملاحظه می‌شود که ارتباط و همبستگی بین تمامی پارامترهای مدنظر بسیار پایین است و در واقع بدین صورت می‌توان تفسیر کرد که تمامی پارامترها مستقل‌اند در تشکیل پدیده‌ی ستون کوتاه اثربخشند.

تحلیل‌های پیچیده و زمان‌بر به اطلاعات مناسبی در مورد وضعیت ستون دست پیدا کنند.

تشکر و قدردانی

نویسنده‌گان بدین وسیله از حمایت مالی پژوهشگاه بین‌المللی مهندسی زلزله و زلزله‌شناسی در انجام پژوهش حاضر، کمال تشکر و قدردانی را دارند.

پابوشت‌ها

1. Li
2. Moretti
3. Jin
4. principal component analysis
5. decision tree
6. F-test
7. Spearman
8. Pearson
9. Chiou
10. truncated normal distribution
11. robust scaling
12. heat map

منابع (References)

1. Li, Y.-A., Huang, Y.-T. and Hwang, S.-J. "Seismic response of reinforced concrete short columns failed in shear", *ACI Structural Journal*, **111**(4), p. 945-954 (2014).
2. Li, Y.-A. and Hwang, S.-J. "Prediction of lateral load displacement curves for reinforced concrete short columns failed in shear", *Journal of Structural Engineering*, **143**(2), 4016164 (2017).
3. Li, Y.-A., Weng, P.-W. and Hwang, S.-J. "Seismic performance of reinforced concrete intermediate short columns failed in Shear", *ACI Structural Journal*, **116**(3), pp. 195-206 (2019).
4. Shen, W.-C., Hwang, S.-J., Li, Y.-A. and et al. "Force-displacement model for shear-critical reinforced concrete columns", *ACI Structural Journal*, **118**(1), pp. 241-249 (2021).
5. Moretti, M.L. "Behavior and aseismic design of short columns", *Conference: 3rd Japan-Turkey Workshop on Earthquake Engineering*, Istanbul, Turkey (2002).
6. Moretti, M. and Tassios, T.P. "Behaviour of short columns subjected to cyclic shear displacements: experimental results", *Engineering Structures*, **29**(8), pp. 2018-2029 (2007).
7. Jin, L., Zhang, S., Li, D. and et al. "A combined experimental and numerical analysis on the seismic behavior of short reinforced concrete columns with different
- structural sizes and axial compression ratios", *International Journal of Damage Mechanics*, **27**(9), pp. 1416-1447 (2018).
8. Beheshti Aval, H. and Katabdari, S.B. "Estimating shear strength of rectangular short reinforced concrete columns using genetic programming", *Sharif Journal of Civil Engineering*, **34.2**(4.1), pp. 101-111 (In Persian) (2019).
9. ĐJUROVIĆ, Ž.M. and KOVACEVIĆ, B.D. "QQ-plot approach to robust Kalman filtering", *International Journal of Control*, **61**(4), pp. 837-857 (1995).
10. Pedregosa, F., Varoquaux, G., Gramfort, A. and et al. "Scikit-learn: machine learning in python," *The Journal of machine Learning research*, **12**(85), pp. 2825-2830 (2011).
11. Salzberg, S.L. "C4. 5: programs for machine learning by j. ross quinlan. morgan kaufmann publishers, inc., 1993", *Kluwer Academic Publishers* (1994).
12. St, L. and Wold, S. "Analysis of variance (ANOVA)", *Chemometrics and intelligent laboratory systems*, **6**(4), pp. 259-272 (1989).
13. MacQueen, J. and others, "Some methods for classification and analysis of multivariate observations", *In Proceedings of the 5th Berkeley symposium on mathematical statistics and probability*, **1**(14), pp. 281-297 (1967).
14. Bradley, A.P. "The use of the area under the ROC curve in the evaluation of machine learning algorithms", *Pattern Recognition*, **30**(7), pp. 1145-1159 (1997).
15. Gönen, M. "Receiver operating characteristic (ROC) curves", *SAS Users Group International (SUGI)*, **31**, pp. 210-231 (2006).
16. Altman, N.S. "An introduction to kernel and nearest-neighbor nonparametric regression", *The American Statistician*, **46**(3), pp. 175-185 (1992).
17. Jolliffe, I.T. "Principal Component Analysis", *Springer Series in Statistics*, **29** (2002).
18. Benesty, J., Chen, V., Huang, Y. and et al. "Pearson correlation coefficient", *In Noise Reduction in Speech Processing*, Springer, pp. 1-4 (2009).
19. Myers, L. and Sirois, M.J. "Spearman correlation coefficients, differences between", *Encyclopedia of Statistical Sciences*, **12** (2004).

20. Mazzoni, S., McKenna, F., Scott, M.H. and et al. "OpenSees command language manual", *Pacific Earthquake Engineering Research (PEER) Center*, **264**, pp. 137-158 (2006).
21. ASCE/SEI 31-41, "Seismic evaluation and retrofit of existing buildings", Published online: (May 29 2014).
22. Hosseini, M. and Kabeyasawa, T. "Effect of infill masonry walls on the seismic response of reinforced concrete buildings subjected to the 2003 Bam earthquake strong motion: a case study of Bam telephone center", *Bulletin of the Earthquake Research Institute, University of Tokyo*, **79**(3), pp. 133-156 (2004).
23. Chiou, Y.-J., Tzeng, J.-C. and Liou, Y.-W. "Experimental and analytical study of masonry infilled frames", *Journal of Structural Engineering*, **125**(10), pp. 1109-1117 (1999).
24. Lynn, A.C., Moehle, J.P., Mahin, S.A. and et al "Seismic evaluation of existing reinforced concrete build-
- ing columns", *Earthquake Spectra*, **12**(4), pp. 715-739 (1996).
25. Pouraminian, H. and Ekranejad, M. "Reliability analysis of concrete arch dam under stage construction and hydrostatic pressure by MCS and RS methods", *Sharif Journal of Civil Engineering*, **37.2**(3.2), pp. 135-145 (In Persian) (2021).
26. Spence, I. and Lewandowsky, S. "Robust multidimensional scaling", *Psychometrika*, **54**(3), pp. 501-513 (1989).
27. Rokach, L. and Maimon, O. "Top-down induction of decision trees classifiers-a survey", *IEEE Transactions on Systems, Man, and Cybernetics, Part C (Applications and Reviews)*, **35**(4) pp. 476-487 (2005).
28. Huang, L.-S. and Chen, J. "Analysis of variance, coefficient of determination and F-test for local polynomial regression", *The Annals of Statistics*, **36**(5), pp. 2085-2109 (2008).